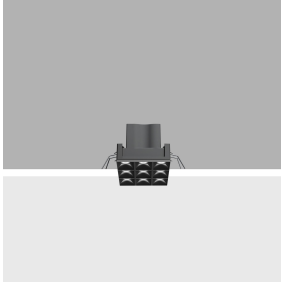


Ultimo aggiornamento delle informazioni: Maggio 2024

Configurazione di prodotto: QJ22

QJ22: Minimal 9 celle - Flood beam - LED



Codice prodotto

QJ22: Minimal 9 celle - Flood beam - LED

Descrizione tecnica

Apparecchio miniaturizzato quadrato ad incasso a 9 elementi ottici per sorgenti LED - ottica fissa. Nonostante le dimensioni extra-compatte del prodotto, la tecnologia brevettata del sistema ottico garantisce un flusso efficace ed un elevato comfort visivo ad abbagliamento controllato. Corpo principale con superficie radiante in fusione di alluminio, versione minimal (frameless) a filo soffitto. Per l'installazione dell'incasso sul controsoffitto è indispensabile lo specifico adattatore disponibile con codifica separata. Riflettore Opti Beam ad alta definizione in termoplastico metallizzato, integrato in posizione arretrata nello schermo antiabbagliamento. Fornito con unità di alimentazione dimmerabile DALI collegata all'apparecchio.

Installazione

Inserimento del corpo incasso tramite molle in filo di acciaio sullo specifico adattatore (QJ91) precedentemente installato a soffitto - spessori consentiti 12,5 / 15 / 20 mm. Una speciale derma di protezione permette di semplificare e velocizzare le operazioni di rifinitura sul cartongesso.

Colore

Bianco (01) | Nero (04) | Oro (14)* | Cromo brunito (E6)*

Peso (Kg)

0.27

* Colori a richiesta

Montaggio

incasso a parete|incasso a soffitto

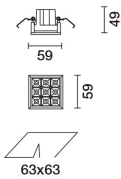
Cablaggio

Sull'unità di alimentazione con morsettieria inclusa.

Note

La speciale molla in filo di acciaio in dotazione è necessaria per facilitare l'eventuale estrazione del corpo-incasso ad inserimento avvenuto.

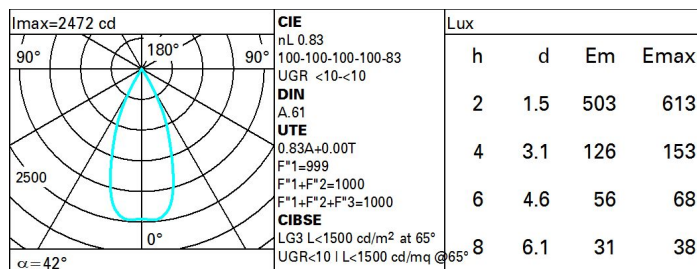
Soddisfa EN60598-1 e relative note



Dati tecnici

| | | | |
|--|------|--|--|
| Im di sistema: | 1204 | Life Time LED 1: | > 50,000h - L80 - B10 (Ta 25°C) |
| W di sistema: | 17.7 | Voltaggio [Vin]: | 230 |
| Im di sorgente: | 1450 | Codice lampada: | LED |
| W di sorgente: | 15 | Numero di lampade per vano ottico: | 1 |
| Efficienza luminosa (lm/W, dati di sistema): | 68 | Codice ZVEI: | LED |
| Im in modalità emergenza: | - | Numero di vani ottici: | 1 |
| Flusso totale emesso a 90° o superiore [Lm]: | 0 | Power factor: | Vedi istruzioni di installazione |
| Light Output Ratio (L.O.R.) [%]: | 83 | Corrente di spunto (in-rush): | 5 A / 50 µs |
| Angolo di apertura [°]: | 43° | Massimo numero di apparecchi collegabili a ogni interruttore automatico: | B10A: 31 apparecchi B16A: 50 apparecchi C10A: 52 apparecchi C16A: 85 apparecchi |
| CRI (minimo): | 90 | % minima di dimmerazione: | 1 |
| Temperatura colore [K]: | 3000 | Protezione alle sovratensioni: | 2kV Modo comune e 1kV Modo differenziale |
| MacAdam Step: | 2 | Control: | DALI-2 |

Polare



Coefficienti di utilizzazione

| R | 77 | 75 | 73 | 71 | 55 | 53 | 33 | 00 | DRR |
|------|----|----|----|----|----|----|----|----|-----|
| K0.8 | 75 | 71 | 68 | 66 | 70 | 68 | 68 | 65 | 78 |
| 1.0 | 78 | 75 | 72 | 70 | 74 | 72 | 71 | 69 | 83 |
| 1.5 | 82 | 80 | 77 | 76 | 79 | 77 | 76 | 74 | 89 |
| 2.0 | 85 | 83 | 81 | 80 | 82 | 80 | 79 | 77 | 93 |
| 2.5 | 86 | 85 | 84 | 83 | 84 | 83 | 82 | 79 | 96 |
| 3.0 | 87 | 86 | 85 | 85 | 85 | 84 | 83 | 81 | 98 |
| 4.0 | 88 | 87 | 87 | 86 | 86 | 86 | 84 | 82 | 99 |
| 5.0 | 89 | 88 | 88 | 88 | 87 | 87 | 85 | 83 | 100 |

Curva limite di luminanza

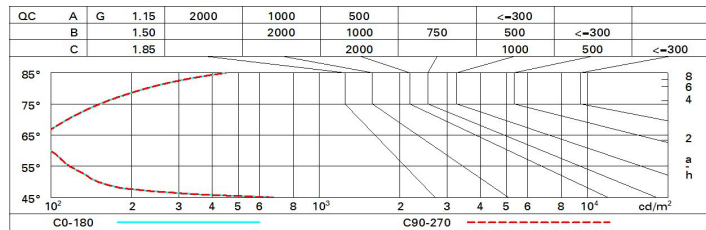


Diagramma UGR

| Corrected UGR values (at 1450 lm bare lamp luminous flux) | | | | | | | | | | | |
|---|------|------------------|------|------|------|------|----------------|------|------|------|------|
| Reflect.: | | viewed crosswise | | | | | viewed endwise | | | | |
| ceil/cav | | 0.70 | 0.70 | 0.50 | 0.50 | 0.30 | 0.70 | 0.70 | 0.50 | 0.50 | 0.30 |
| walls | | 0.50 | 0.30 | 0.50 | 0.30 | 0.30 | 0.50 | 0.30 | 0.50 | 0.30 | 0.30 |
| work pl. | | 0.20 | 0.20 | 0.20 | 0.20 | 0.20 | 0.20 | 0.20 | 0.20 | 0.20 | 0.20 |
| Room dim | | viewed crosswise | | | | | viewed endwise | | | | |
| x | y | | | | | | | | | | |
| 2H | 2H | 6.6 | 7.2 | 6.9 | 7.4 | 7.7 | 6.6 | 7.2 | 6.9 | 7.4 | 7.7 |
| | 3H | 6.5 | 7.0 | 6.8 | 7.3 | 7.6 | 6.5 | 7.0 | 6.8 | 7.3 | 7.6 |
| | 4H | 6.4 | 6.9 | 6.8 | 7.2 | 7.5 | 6.4 | 6.9 | 6.8 | 7.2 | 7.5 |
| | 6H | 6.4 | 6.8 | 6.7 | 7.1 | 7.4 | 6.4 | 6.8 | 6.7 | 7.1 | 7.4 |
| | 8H | 6.3 | 6.8 | 6.7 | 7.1 | 7.4 | 6.3 | 6.7 | 6.7 | 7.1 | 7.4 |
| 12H | 6.3 | 6.7 | 6.7 | 7.0 | 7.4 | 6.3 | 6.7 | 6.7 | 7.0 | 7.4 | |
| 4H | 2H | 6.4 | 6.9 | 6.8 | 7.2 | 7.5 | 6.4 | 6.9 | 6.8 | 7.2 | 7.5 |
| | 3H | 6.3 | 6.7 | 6.7 | 7.0 | 7.4 | 6.3 | 6.7 | 6.7 | 7.0 | 7.4 |
| | 4H | 6.2 | 6.6 | 6.6 | 6.9 | 7.3 | 6.2 | 6.6 | 6.6 | 6.9 | 7.3 |
| | 6H | 6.1 | 6.4 | 6.5 | 6.8 | 7.2 | 6.1 | 6.4 | 6.5 | 6.8 | 7.2 |
| | 8H | 6.1 | 6.4 | 6.5 | 6.8 | 7.2 | 6.1 | 6.4 | 6.5 | 6.8 | 7.2 |
| 12H | 6.0 | 6.3 | 6.5 | 6.7 | 7.2 | 6.0 | 6.3 | 6.5 | 6.7 | 7.2 | |
| 8H | 4H | 6.1 | 6.4 | 6.5 | 6.8 | 7.2 | 6.1 | 6.4 | 6.5 | 6.8 | 7.2 |
| | 6H | 6.0 | 6.2 | 6.4 | 6.7 | 7.1 | 6.0 | 6.2 | 6.4 | 6.7 | 7.1 |
| | 8H | 5.9 | 6.1 | 6.4 | 6.6 | 7.1 | 5.9 | 6.1 | 6.4 | 6.6 | 7.1 |
| | 12H | 5.9 | 6.1 | 6.4 | 6.6 | 7.1 | 5.9 | 6.1 | 6.4 | 6.6 | 7.1 |
| 12H | 4H | 6.0 | 6.3 | 6.5 | 6.7 | 7.2 | 6.0 | 6.3 | 6.5 | 6.7 | 7.2 |
| | 6H | 5.9 | 6.1 | 6.4 | 6.6 | 7.1 | 5.9 | 6.1 | 6.4 | 6.6 | 7.1 |
| | 8H | 5.9 | 6.1 | 6.4 | 6.5 | 7.1 | 5.9 | 6.1 | 6.4 | 6.6 | 7.1 |
| Variations with the observer position at spacing: | | | | | | | | | | | |
| S = | 1.0H | 7.0 / -14.5 | | | | | 7.0 / -14.5 | | | | |
| | 1.5H | 9.8 / -14.7 | | | | | 9.8 / -14.7 | | | | |
| | 2.0H | 11.8 / -14.8 | | | | | 11.8 / -14.8 | | | | |